

NP 3^{le} Résonance

N.B. Nestin
Olivier Parleveechio

Prérequis :

- Calcul d'impédance complexe
- Équation de propagation dans une corde
- Calcul d'interférences dans un Fabry-Pérot (notion de finesse)

Plan : I Résonance électrique : RLC série

1/ En intensité

2/ En tension

II Résonance mécanique : corde de Peldel

III Résonance optique : cavité Fabry-Pérot

Intro

Résonance : phénomène général en physique (+ domaines)

• perception intuitive avec un élastique et une masse.

il y a résonance lorsque le système emmagasine une énergie maximale pour une certaine fréquence.

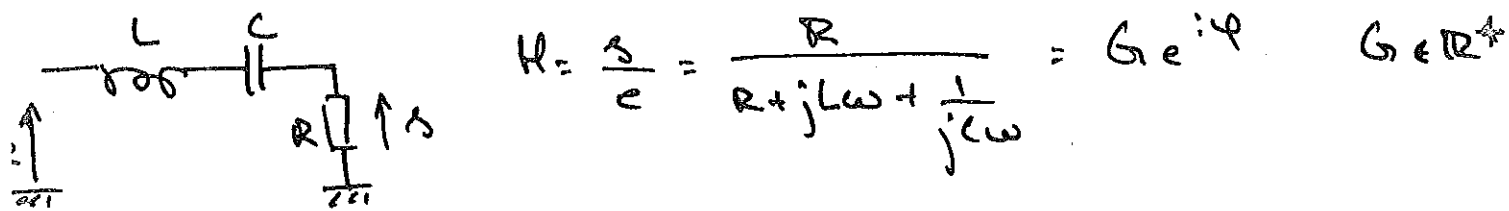
Définition : Pour un système connecté à un excitateur, on dit qu'il y a résonance lorsque l'énergie emmagasinée par le système présente un maximum pour une certaine fréquence.

Biblio:

- Tech'Doc PCSI et PC (pour corde de Peldel et circuit RLC)
- Feynman, Mécanique I (fin chap. sur les résonances pour exemples)
- Documentation de la cavité Felle-Giot
- SUP 801

I Résonance électrique: RLC série

1/ En intensité



$$H = \frac{e}{i} = \frac{R}{R + jL\omega + \frac{1}{jC\omega}} = G e^{j\varphi} \quad G \in \mathbb{R}^+$$

Résonance lorsque $G(\omega)$ est maximum $\Rightarrow \omega_r = \frac{1}{\sqrt{LC}} = \omega_0$ et $\varphi = 0$

ω_0 est la fréquence propre, définie comme étant la fréquence d'oscillation du système en régime libre; i.e sans forçage ni dissipation.

Bande passante à -3dB : définition du facteur de qualité Q :

$$Q = \frac{\omega_r}{\Delta\omega} = \frac{1}{RC\omega_0} \quad \text{d'où} \quad \Delta\omega = \frac{R}{L}$$

Message: la résonance est caractérisée par

- la fréquence à laquelle elle se produit
- sa largeur : caractéristique de manière plus fondamentale un système. Cette largeur est liée au facteur de qualité qui donne aussi une information sur la durée du régime transitoire (n d'oscillations)

Rq: La résistance R inclut celles des fils et de la bobine (mais pas celle du générateur, qui se trouve en avant de l'entrée e); la tension aux bornes de la résistance est alors obtenue par diviseurs de tension

Manipulation:

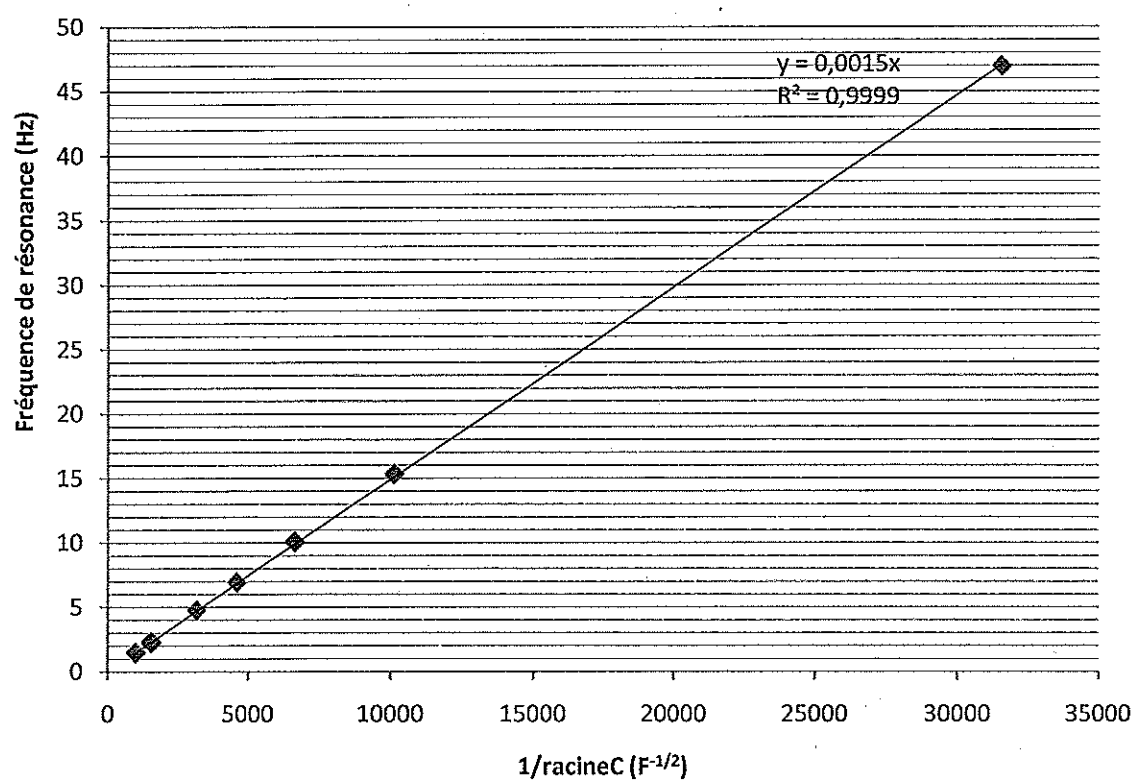
- Balayage rapide en fréquence ou GRF, visualisation à l'oscillo
- Détermination précise de ω_r en mode XY (condition $\varphi = 0$)

$$f_0 = 1,486 \pm 0,0056 \text{ Hz} \quad \text{couplé à } L = 1,15 \mu\text{H} \quad C = 1,02 \mu\text{F}$$

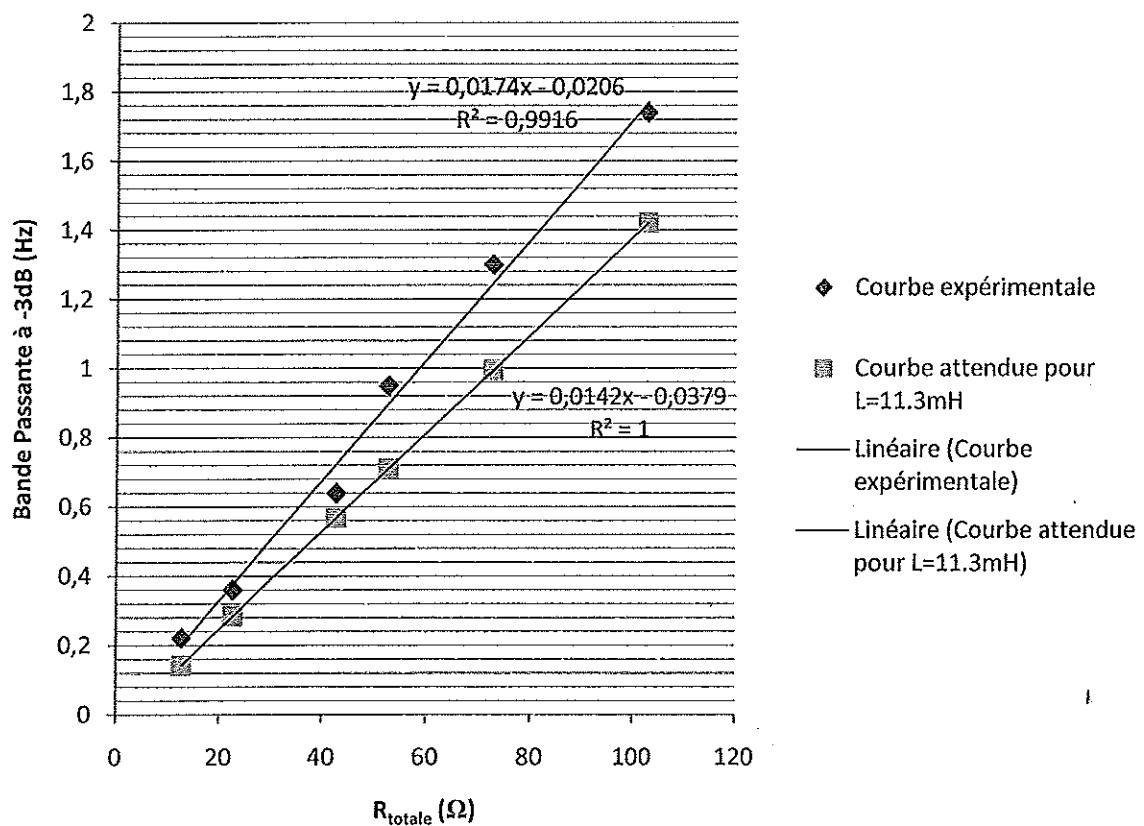
Ajout à la courbe H

- Variation de R avec la boîte à diodes de résistance $\Rightarrow f_0$ ne change pas !!

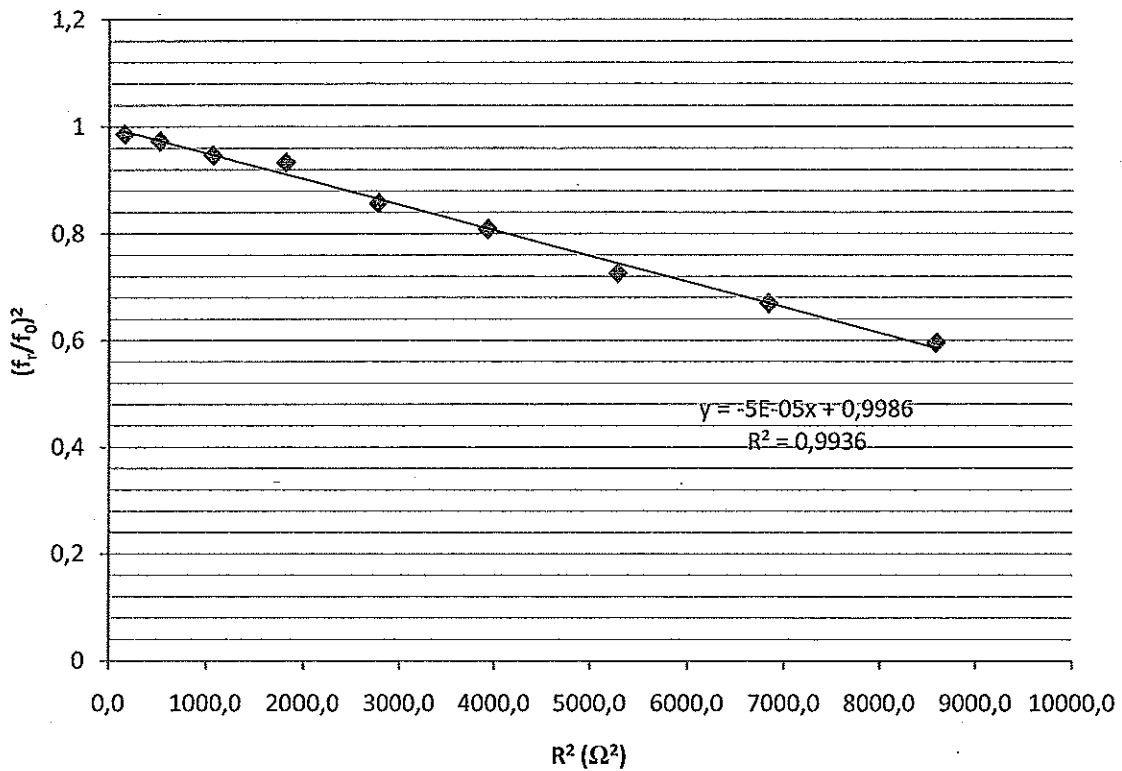
Courbe A : Vérification de la relation entre f_r et C pour la résonance en intensité.



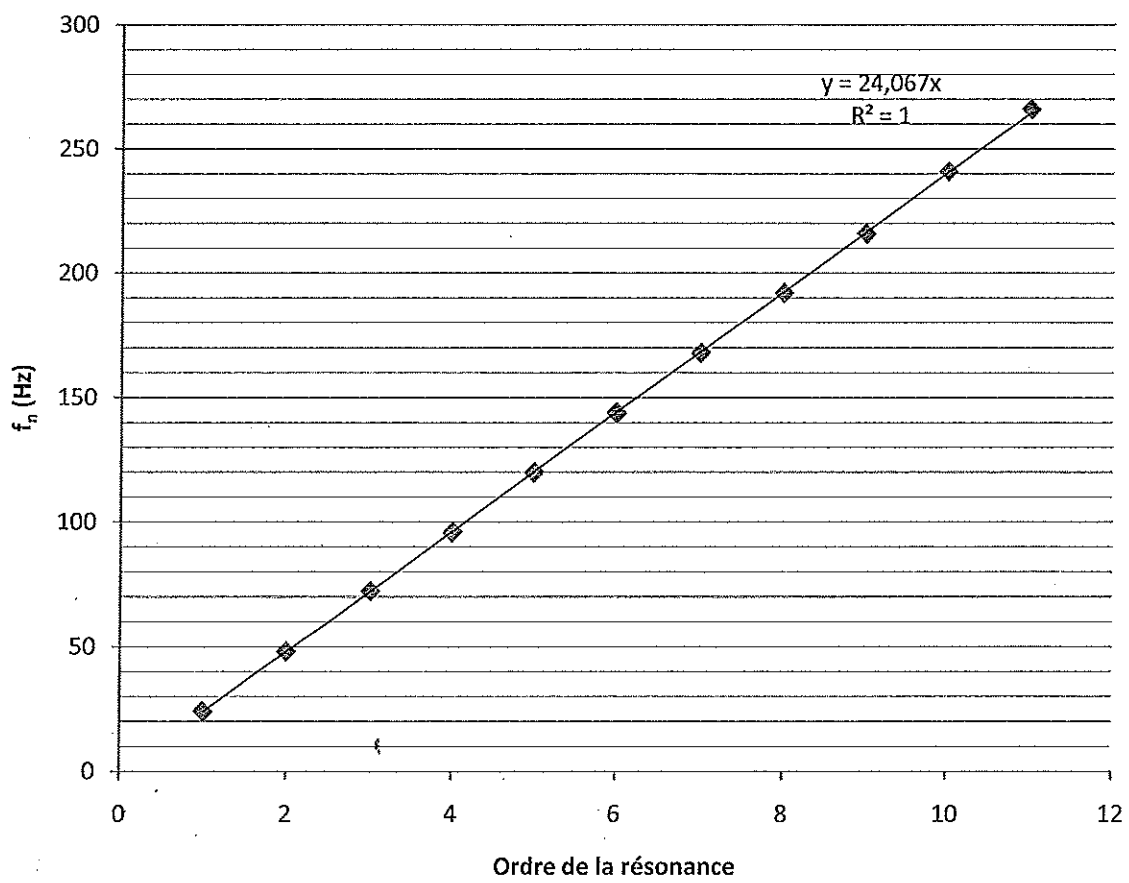
Courbe B : Vérification de la relation entre Δf et R_{totale} pour la résonance en intensité.



Courbe C : Vérification de la loi $f_r(R)$ pour résonance en tension.

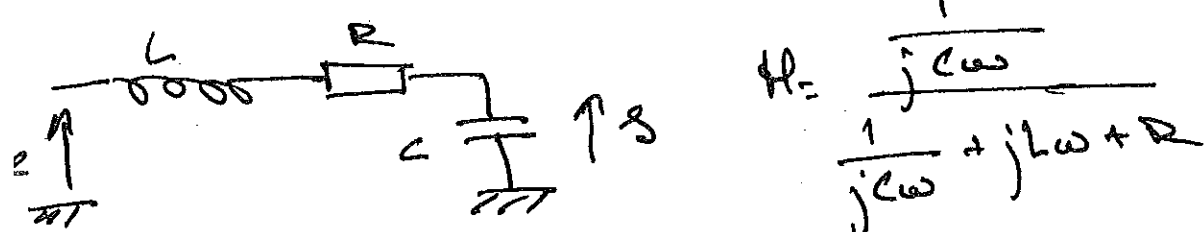


Courbe D : Résonances de la corde de Melde



Dans l'exemple de la résonance en tension, la fréquence de résonance correspond à la fréquence propre; l'exemple de la résonance en tension montre que cela n'est pas toujours le cas. En outre la résonance n'a pas systématiquement lieu : un critère est à vérifier.

2/ En tension



La résonance a lieu pour $\Omega \Rightarrow \frac{1}{\sqrt{LC}}$ (sinon $G(\omega) \rightarrow 0$)
à la fréquence $\omega_r = \omega_0 \sqrt{1 - \frac{1}{2Q^2}}$

Polarisaté pour ω_0 : $\varphi = \pi/2$

Résonation

- Rise en évidence de la condition de résonance ($R \approx 150\Omega$) grâce à 2 résistances différentes

- Montrer sur le diagramme de Bode que $G(\omega)$ ne coïncide pas avec $\varphi = \pi/2$ (pour ω_0)

- Résultat de f_r pour une résistance particulière ($R = 30\Omega$)

Ajust à la constante C_f $\left(\frac{f_r}{f_0}\right)^2 = 1 - \frac{C}{2L} R^2$: résultat attendu

Résultat obtenu $\left(\frac{f_r}{f_0}\right)^2 = 0,9986 - 6,80 \cdot 10^{-5} R^2$

$$\left(\frac{f_r}{f_0}\right)^2 = 0,9986 - 6,80 \cdot 10^{-5} R^2$$

↑ ↑
ou ou ou lieu de $4,6 \cdot 10^{-5} \Omega^2$

Pour un système donné, il peut exister plus d'une fréquence de résonance (typiquement autant que de mode propre, ou degré de liberté); ceci est en particulier vrai dans les ~~cas de amortissement~~ des ondes. Nous allons étudier

- Mesure de la bande passante à l'analyseur de spectre
- à l'oscillo (méthode des $\frac{5}{7}$)

Ajout à la courbe B]

Courbe A : $f_0 \left(\frac{1}{\sqrt{C}} \right)$ couplée à la prévision $f_0 = \frac{1}{2\pi\sqrt{L}} \times \frac{1}{\sqrt{C}}$

Écart quadratique :

Pente :

au lieu de

Ceci s'explique par le fait que L a été mesurée à un endroit et que le circuit était placé sur l'analyseur de spectre lors de la mesure; coup $\overline{\text{B}}$ parasite.

Courbe B : $\Delta f(R)$ couplée à la prévision $\Delta f = \frac{R}{2\pi L}$

Pente :

au lieu de

même interprétation.

Différents facteurs de qualité : $Q = \frac{1}{R\sqrt{C}}$ pour $R=152 \Omega \#1$
 $R=252 \Omega \#5$

Evaluation de l'énergie transférée au système: résistance de la bobine

~~$$P = \langle U_i \rangle_T = R \langle I^2 \rangle_T = R T_{\text{per}}$$~~

~~l'énergie dissipée par la résistance~~

~~et dans les pertes~~ $P = \langle U_i \rangle_T = \frac{1}{2} E^2 \frac{1}{R} T$

période de forcing ($T = 2\pi/\omega$)

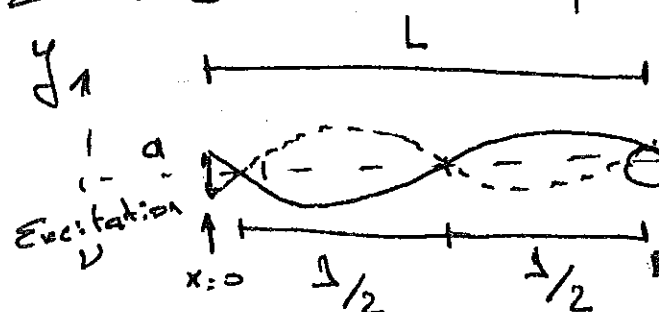
$$P = \langle e_i \rangle_T = \frac{1}{R} \langle e_s \rangle = \frac{1}{R} E \cos \omega t \frac{G E \cos(\omega t + \phi)}{R}$$

$$P = \frac{GE^2}{R} \frac{\cos \phi}{2} = \frac{E^2}{2R} P_{\text{de}}(H)$$

L'énergie transférée au système est nulle lorsque la partie réelle de H est maximum (critère dans la diagramme de Niquist)

les axes d'un système mécanique, la corde de Bérelde, qui ont la particularité d'avoir un très fort facteur de qualité.

III Résonance mécanique: la corde de Bérelde.



Hypothèses (petites oscillations)

- corde → inextensible
- sans raidissements
- de masse linéaire
- pas de poids pour la corde
- déplacement vertical des points de la corde

Équation de propagation (à partir du PFD) $\frac{\partial^2 y}{\partial x^2} - \frac{1}{c^2} \frac{\partial^2 y}{\partial t^2} = 0 \quad \text{ou} \quad \ddot{x} = \frac{mg}{T}$

Conditions aux limites :

en $x=0$ onde progressive

en $x=L$ réflexion totale en opposition de phase.

$$\hookrightarrow \text{Onde stationnaire} \quad \boxed{L = \frac{c}{v}}$$

L'amplitude de l'oscillation (→ énergie potentielle & énergie cinétique) est d'autant plus grande qu'elle se rapproche d'un noeud; ce sont les termes non-linéaires qui empêchent la divergence du système.

$$\hookrightarrow \text{Résonance pour } L = n \frac{\lambda}{2} \text{ d'où } v_n = \frac{n\pi}{2L} = n\omega_0$$

Préparation:

* Balayage en fréquence pour montrer l'espacement régulier des résonances

* Mesure pour un $n = 1002$ de v_n et ajout à la courbe DJ .

* On se place à un ordre pair de résonance puis quadruple la masse accrochée ou fl : on passe à la résonance d'ordre moins élevé: vérification, pour un point de $f = \sqrt{\frac{T}{\mu}} \times \sqrt{\omega}$

* Évaluation $\Omega = \frac{10}{10^{-2}} = 10^3$ (fondante $\Delta f \approx 10^{-2} \text{ Hz}$)

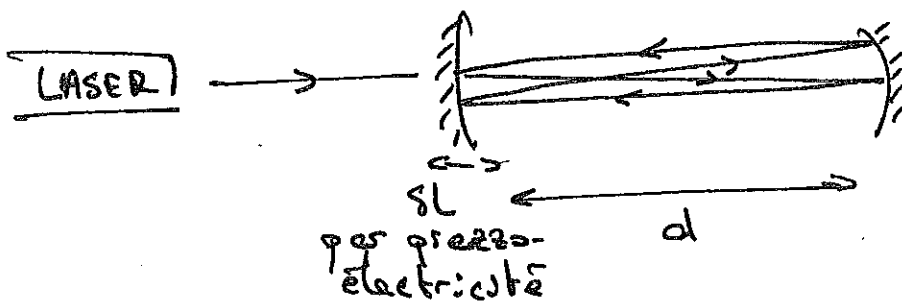
Rq: Pour les systèmes mécaniques le facteur de qualité est grand, ce qui implique un régime transitoire long: à prendre en compte lors de la détermination de la résonance (battements)

Beaucoup de procédés de mesure reposent sur le phénomène de résonance :

- Oscillographie
- Inductométrie (ondes centimétriques, hyperfréquences)

nous allons en étudier un : le caustique Fabry-Pérot.

III Résonance optique : le caustique Fabry-Pérot



Condition de résonance : au bout de quatre traversées un rayon doit être en phase avec lui-même ~~et il n'y a pas de pertes~~
On alimente le matériau par onde électrique par onophage : ceci fait varier d'une très petite quantité la longueur de la cavité.
Les fréquences résonantes changent continûment

$$4d = n \frac{c}{\nu_0} \Rightarrow \nu_0^{(n)} = \frac{n c}{4d}$$

$$\text{et } \nu_0^{(n)}(SL) = \frac{n c}{4(d+SL)} \approx \frac{n c}{4d} \left(1 - \frac{SL}{d}\right)$$

Notons ν_1 et ν_2 les deux fréquences distantes de ν_0 , du LASER

$$\nu_1 = \frac{n c}{4d} \left(1 - \frac{SL_1}{d}\right) \text{ et } \nu_2 = \frac{n c}{4d} \left(1 - \frac{SL_2}{d}\right)$$

$$\text{d'où } \nu_0 = \nu_1 - \nu_2 = \frac{n c}{4d^2} (SL_2 - SL_1) \text{ proportionnel à l'écart moyen sur l'oscilloscope}$$

De plus ν_1 devient à nouveau résonant (mais alors pour un autre ordre) lorsque $4(SL_1 - SL_1') = \frac{c}{\nu_1}$; ce qui correspond à l'ordre n à une fréquence résonante ν_1'

$$\text{telle que } \nu_1' = \frac{n c}{4d} \left(1 - \frac{SL_1'}{d}\right) = \cancel{\frac{n c}{4d} \left[1 - \frac{1}{d} \left(SL_1 - \frac{c}{\nu_1}\right)\right]}$$

$$= \frac{n c}{4d} \left(1 - \frac{SL_1}{d} + \frac{SL_1 - SL_1'}{d}\right) = \nu_1 + \frac{n c}{4d^2} (SL_1 - SL_1')$$

$$\text{d'où } \nu_1' - \nu_1 = \frac{n c}{4d^2} (SL_1 - SL_1')$$

Or, pour une longueur $(L_0 + SL_1)$ fixée, nous savons que les fréquences résonantes sont régulièrement espacées de $\nu_{FP} = \frac{c}{4(L_0 + SL_1)} \approx \frac{c}{4L_0}$ à l'ordre 0.

$$\text{On a donc } \nu_i - \nu_j = \nu_{FP} = \frac{nc}{4d^2} (\delta L_i - \delta L_j)$$

On en conclue donc $\nu_L = \frac{\delta L_2 - \delta L_1}{\delta L_2 - \delta L_1} \nu_{FP}$, nous avons donc justifié la règle de trois utilisée ; celle-ci n'est vraie que pour $L_0 \gg SL$, ce qui est le cas $\frac{DdL}{L_0} \approx 20\text{ cm}^{-1}$ et $SL \approx 10^{-4}\text{ m}$.

Manipulation

- Mesure de ν_L entre deux modes raisonnant de la cavité du LASER
- Mesure de la largeur de la courbe de gain aténue
- Mesure de la finesse du Fabry-Pérot par rapport à celle de la cavité du LASER.

On pourra :

- faire la manipulation de résonance microscopique en éclairant une vapeur de sodium par une loupe à un peigne de Na
- parler de résonance paramétrique, mais il s'agit de quelque chose de très différent des résonances étudiées ici.

Conclusion

La résonance se caractérise par ω_r et surtout $\Delta\omega$, elle correspond à une situation où le système stoke le maximum d'énergie.

Il s'agit d'un phénomène général en physique

La résonance est un phénomène puissant

- à croire :
 - construction de ponts
 - d'ascenseurs
 - de voitures
- très utile :
 - appareils de mesure
 - filtres électronique / microonde